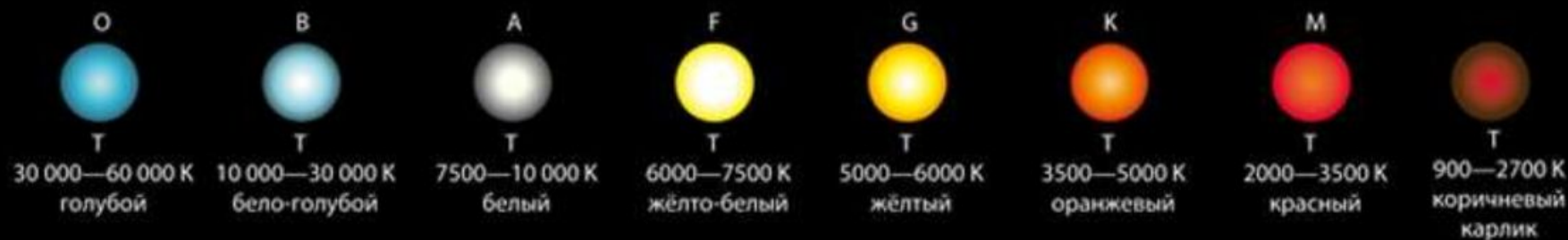




неизвестный спектр, размер



Класс \blacklozenge	Температура, К \blacklozenge	Истинный цвет \blacklozenge	Видимый цвет ^{[8][9]} \blacklozenge	Масса, M_{\odot} \blacklozenge	Радиус, R_{\odot} \blacklozenge	Светимость, L_{\odot} \blacklozenge	Линии водорода \blacklozenge	Доля* в глав. послед., % ^[10] \blacklozenge	Доля* на ветв. бел.к., % ^[10] \blacklozenge
O	30 000—60 000	голубой	голубой	60	15	1 400 000	слабые	~0,00003034	-
B	10 000—30 000	бело-голубой	бело-голубой и белый	18	7	20 000	средние	0,1214	21,8750
A	7500—10 000	белый	белый	3,1	2,1	80	сильные	0,6068	34,7222
F	6000—7500	жёлто-белый	белый	1,7	1,3	6	средние	3,03398	17,3611
G	5000—6000	жёлтый	жёлтый	1,1	1,1	1,2	слабые	7,6456	17,3611
K	3500—5000	оранжевый	желтовато-оранжевый	0,8	0,9	0,4	очень слабые	12,1359	8,6806
M	2000—3500	красный	оранжево-красный	0,3	0,4	0,04	очень слабые	76,4563	-

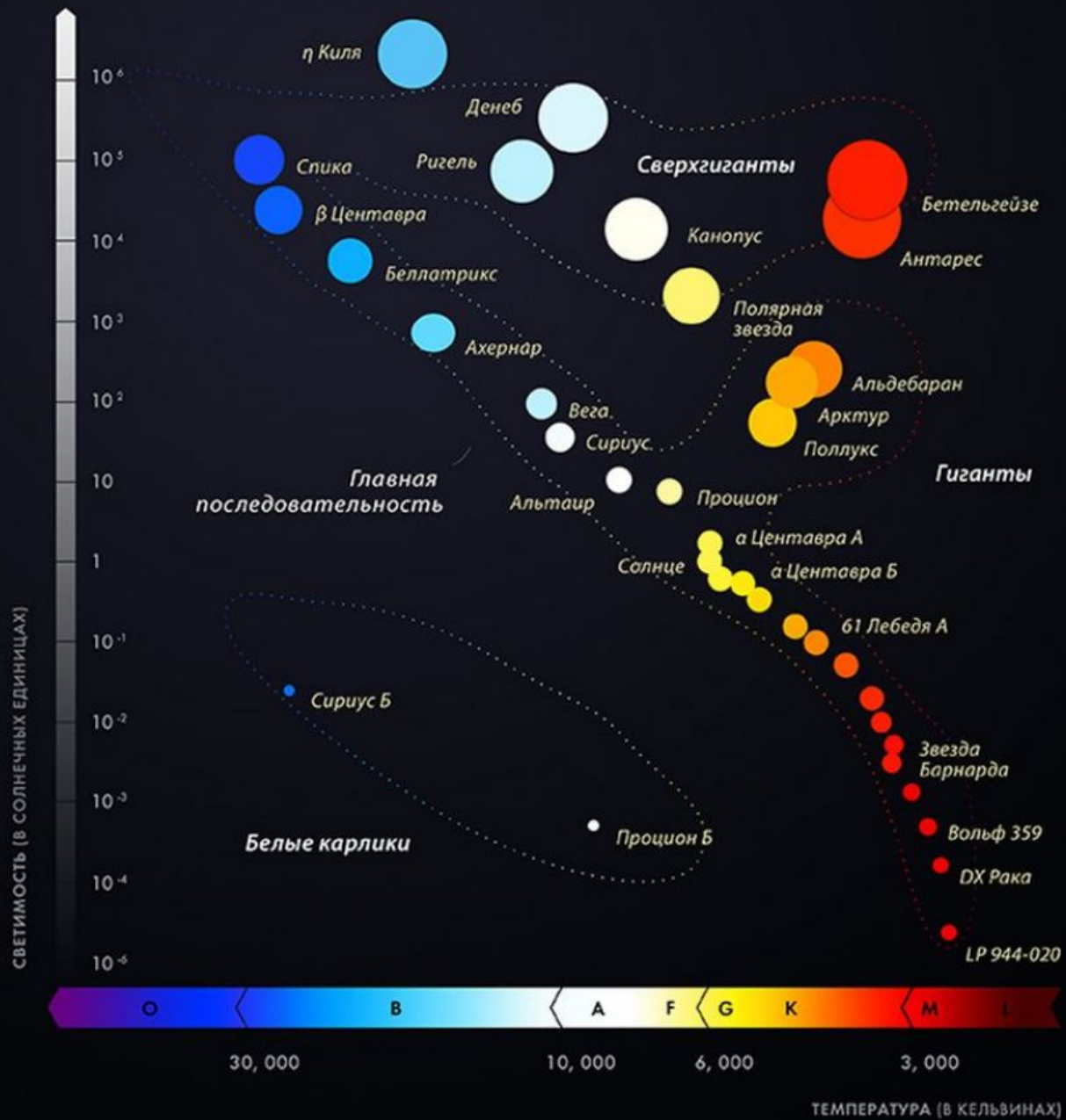
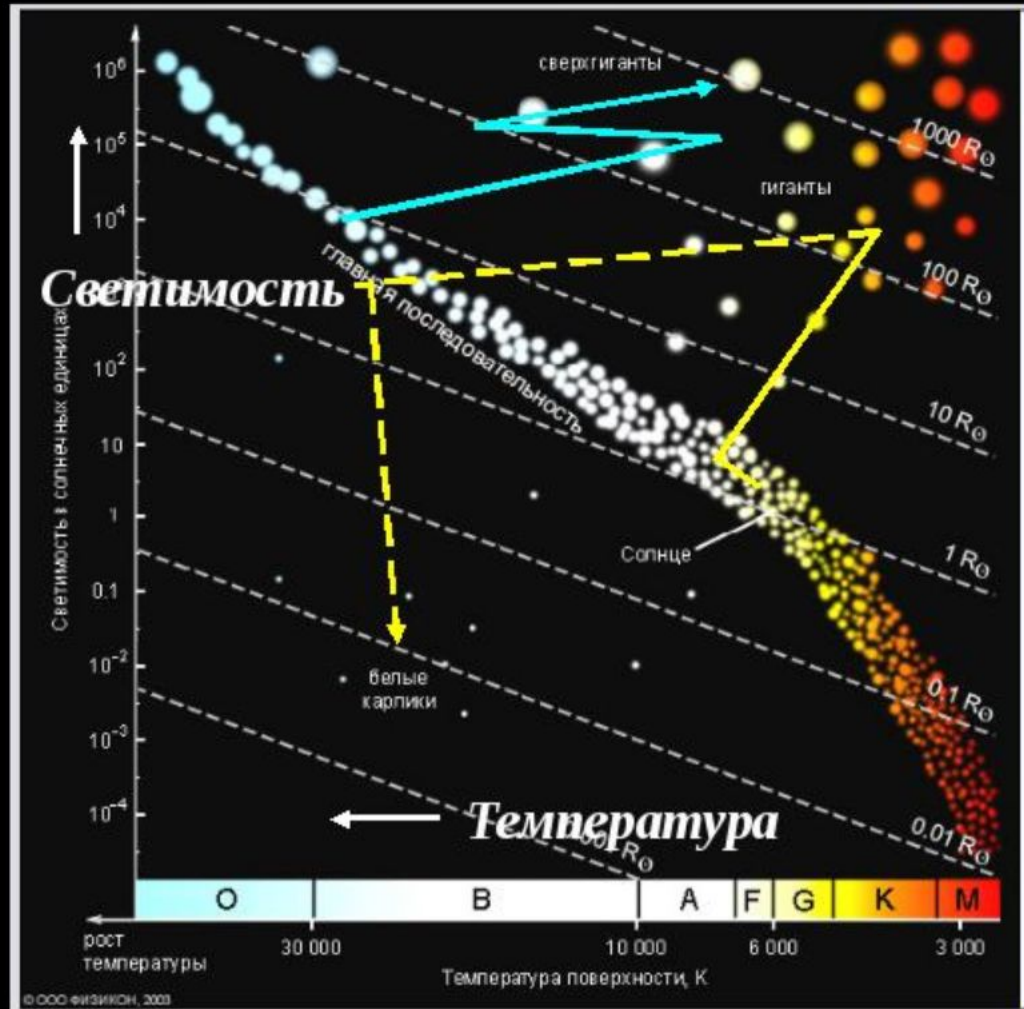
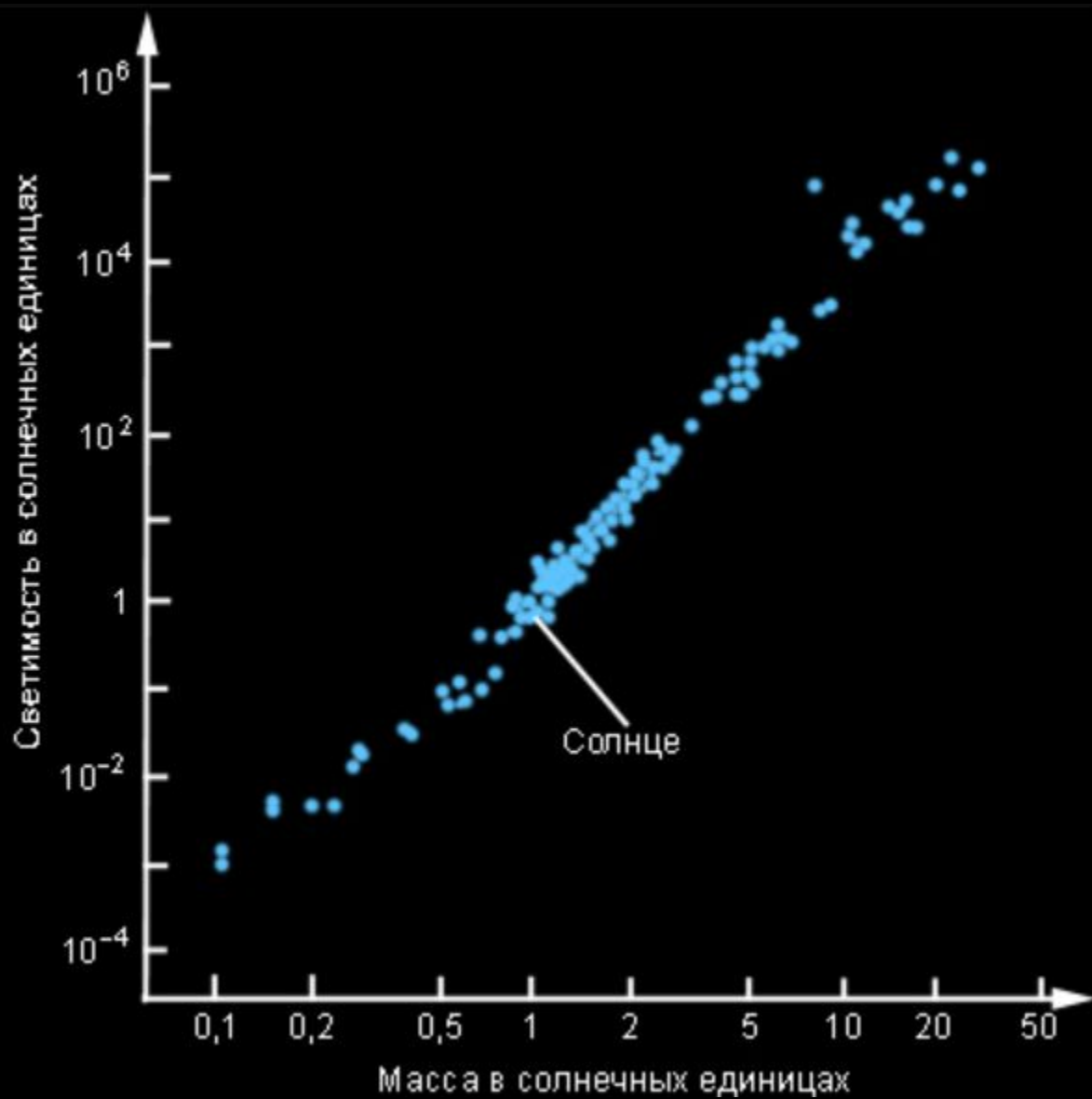


Диаграмма Герцшпрунга-Рассела

Эволюционный трек массивной звезды

Эволюционный трек Солнца





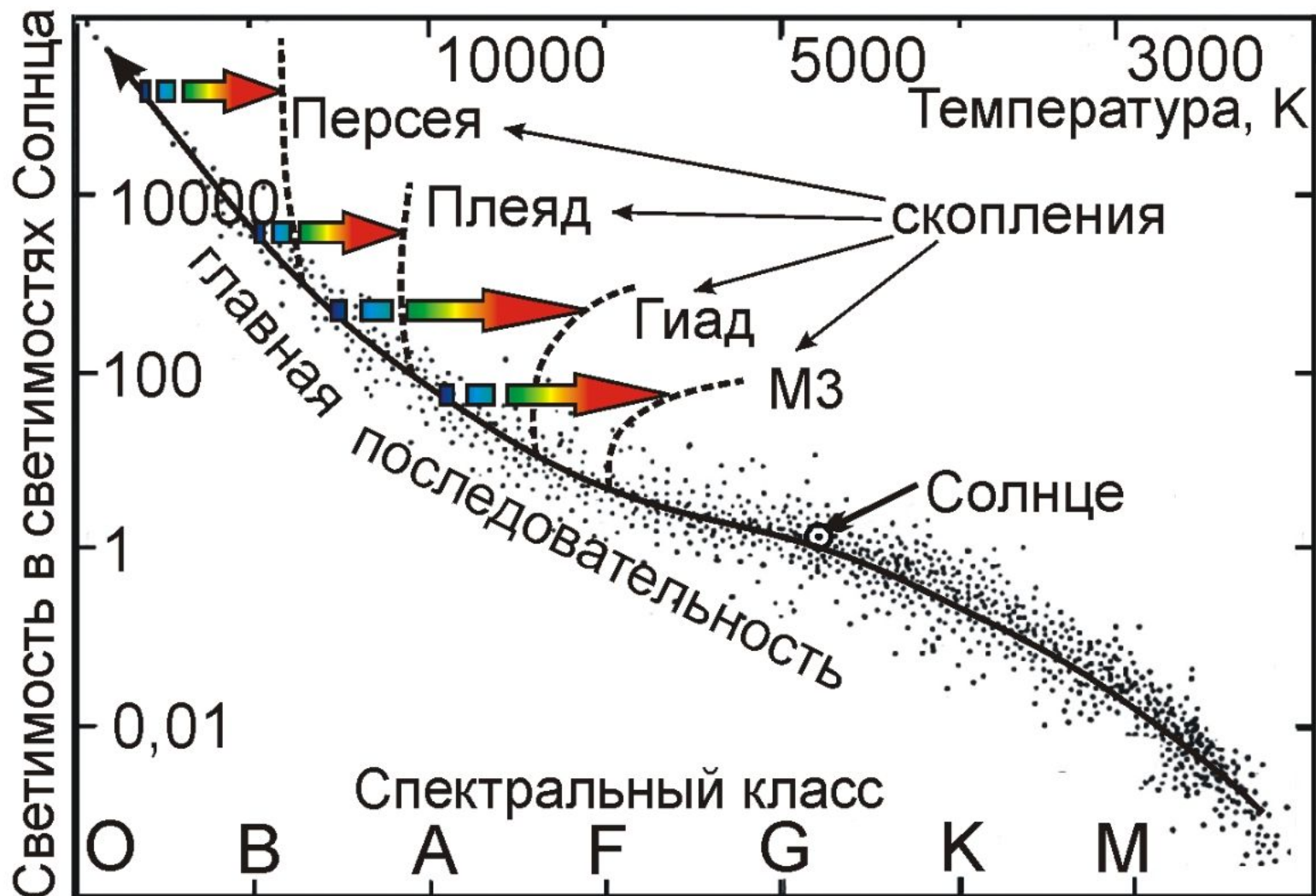


Рис. 7. Отклонение от главной последовательности в сторону гигантов начинается у разных звёздных скоплениях от разных участков главной последовательности, ввиду различной удалённости и эффекта Ритца.